

МОДЕЛИ ЗАКРУЧЕННЫХ ПОТОКОВ В СТРОИТЕЛЬСТВЕ КАРКИДОНСКОГО ВОДОХРАНИЛИЩА

Усмонова Н.А.¹, Негматуллоев З.Т.², Нишонов Ф.Х.³, Усмонов А.А.⁴

¹Усмонова Нодирахон Акрамовна – ассистент,
кафедра строительства инженерных коммуникаций, строительный факультет,
Ферганский политехнический институт, г. Фергана;

²Негматуллоев Зафар Турдибекович - старший преподаватель,
кафедра моделирования, факультет информатики,
Гулистанский государственный университет, г. Гулистан;

³Нишонов Файзуло Холмирзаевич - доцент,
кафедра строительства, проектирования и использования инженерных коммуникаций,
факультет инфраструктуры инженерного строительства,
Ташкентский архитектурный институт, г. Ташкент;

⁴Усмонов Акрамжон Ахмаджонович – доцент, кандидат экономических наук,
кафедра экономики, факультет управления в производстве,
Ферганский политехнический институт, г. Фергана,
Республика Узбекистан

Аннотация: в статье рассматривается минимальное давление на поверхности оголовка в точке B на линии сопряжения его цилиндрической части с потолком трубы Каркидонского водохранилища. Приводится методика определения коэффициента максимального понижения давления, т.е. условия возникновения кавитации C_{\max} для круговых оголовков Каркидонского водохранилища, и приводится сравнение с экспериментальными данными.

Ключевые слова: закрученные потоки поступательно-вращательного движения, смеси, осесимметричное и циркуляционное течения, тангенциальная скорость, осевая скорость, числа Рейнольдса, Фруда и Вебера, частично напорные течения.

УДК 532.533

Исследуем закрученных потоков не сжимаемой водо-воздушной смеси в цилиндрической трубе Каркидонского водохранилища, с круглыми поперечными сечениями, совершающие поступательно-вращательные движения.[6] Можно считать, что течение смеси стационарное, осесимметричное и циркуляционное. Предполагается, что обе фазы смеси (вода и воздух) несжимаемы, радиальные скорости фаз g_{nr} , значительно меньше, чем тангенциальные скорости $g_{n\theta}$ и осевых скоростей g_{nz} . Очевидно, что данная система не замкнута, так как зависит пока от неизвестного значения удельного расхода q и постоянной C_3 .

Как было показана в работе [1,102 стр] критерием образования начала аэрации определяются числами Рейнольдса, Фруда и Вебера. В цилиндрических трубах вовлечение в трубу воздуха происходит при безнапорных, бурных и частично-напорных течениях, где проникновения воздуха в поток происходят под действием касательных напряжений на границах раздела вода и воздуха.

В работе было приведено уравнение водо-воздушной смеси к виду и предварительно найдем значение

$$\frac{\partial^2 g_{xs}^2}{\partial y^2} = \frac{\partial^2}{\partial y^2} \left[\frac{6qy}{F^2} \left(1 - \frac{y}{F} \right) \right] = -\frac{12q}{F^3} \quad (1)$$

Тогда, после некоторых простых преобразований из уравнения (1) находим:

$$\frac{dp}{dx} = \rho \left(\frac{6}{5} \frac{q^2}{F^3} \frac{dF}{dx} - \frac{12qy}{F^3} \right) \quad (2)$$

Интегрируем (2) и получаем

$$p = -\frac{3}{5} \rho q^2 \frac{1}{F^2} - 12 \rho q y \int F^{-3} dx + C_3 \quad (3)$$

уравнений (3) представляет собой искомое решение. Для составления системы двух дополнительных уравнений воспользуемся тем, что известны давления на уплотнение со стороны верхнего P_1 и нижнего P_2 бьефов Каркидонского водохранилища. Численные оценки показывают, что при напоре $\frac{P_1}{\rho g} \approx 20$ м вод.

ст., что практически всегда имеет место в рассматриваемой задаче, давление P_1 можно считать приложенным в точке N (рис.1), т.е. в начале поверхности собственно уплотнения. Координата точки M , к

которой приложено давление P_2 со стороны нижнего бьефа и в которой происходит отрыв потока от обтекаемой поверхности, определяется уравнением

$$\frac{dp}{dx} = \rho \left(\frac{6 q^2}{5 F^3} \frac{dF}{dx} - \frac{12 q v}{F^3} \right) \equiv 0$$

Откуда

$$\frac{dF}{dx} = \frac{10v}{q}$$

Подставляем координаты точек N и M , а также значения давления P_1 и P_2 в (3), получаем два дополнительных уравнения для определения неизвестных q и C_3 :

$$P_1 = -\frac{3}{5} \rho q^2 \frac{1}{F_N^2} - 12 \rho q v \int F^{-3} dx \Big|_{F=F_N}^{x=x_N} + C_3 \quad (4)$$

$$P_2 = -\frac{3}{5} \rho q^2 \frac{1}{F_M^2} - 12 \rho q v \int F^{-3} dx \Big|_{F=F_M}^{x=x_M} \quad (5)$$

Итак, система уравнений (1), (2), (4) и (5) является замкнутой и описывает распределение скоростей и давлений в окрестности щели.

Для рассматриваемой задачи Каркидонского водохранилища, решение удобно находить в системе координат, показанной на рис. 1.

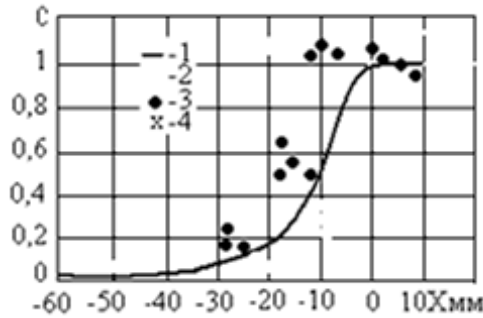


Рис. 1. Коэффициент понижения давления в окрестности уплотнения затвора

Уравнение нижней части оголовка принимает вид

$$F = R + h - \sqrt{R^2 - x^2} \quad (6)$$

где $R = 3,6 \cdot 10^{-2}$ — радиус оголовка, м; h — минимальная высота щели, м.

Уравнение (6) разложим в ряд Тейлора в окрестности точки $x = 0$ и, отбрасывая ввиду малости члены с производными четвертого порядка и выше, получаем

$$F \approx h + \frac{x^2}{2R} \quad (7)$$

Координаты поверхности оголовка в крайней точке N (рис.1), вычисленные по (7), отличаются от истинных координат поверхности реального оголовка рассматриваемого типа всего лишь на 3%. Тогда производная

$$\frac{dF}{dx} = \frac{x}{R} \quad (8)$$

А N имеет координаты $x_N = -6,5 \cdot 10^{-2}$, тогда

$$F_N \approx h + \frac{x_N^2}{2R} \approx \frac{x_N^2}{2R} = 6 \cdot 10^{-2} \text{ м.}$$

Точка M имеет координаты, определяемые уравнением $\frac{dF}{dx} = \frac{x_M}{R}$, откуда следует, что

$$x_M = \frac{10vR}{q}, \quad F_M \approx h + \frac{100v^2}{2q^2} R$$

С учетом этого очевидно, что для рассматриваемого типа оголовка практически при любых значениях напоров P_1 и P_2 уравнения (4), (5)

$$C_3 = p_1, \quad p_1 - p_2 \approx \frac{3}{5} \rho \left(\frac{q}{h} \right)^2,$$

$$q \approx h \sqrt{\frac{5(p_1 - p_2)}{3\rho}} \quad (9)$$

$$p = p_1 - \left(\frac{h}{F} \right)^2 (p_1 - p_2) \quad (10)$$

Выражаем удельный расход с помощью коэффициента расхода системы μ , и имеем

$$q \approx \mu h \sqrt{2 \frac{(p_1 - p_2)}{\rho}} \quad (11)$$

Сравниваем уравнения (9) и (11) получаем, что $\mu \approx \sqrt{\frac{5}{6}} \approx 0,914$.

Из (10) следует, что при данном очертании оголовка уплотнения кавитация на нем не может возникнуть при любых сочетаниях давлений P_1 и P_2 (даже при истечении в атмосферу, когда абсолютное давление равно атмосферному p_a) и любых размерах щели h . Коэффициент понижения давления при этом в различных сечениях равен

$$C = \frac{(p_1 - p_2) - p}{p_1 - p_2} = \left(\frac{h}{F} \right)^2 - \frac{p_2}{p_1 - p_2} = \frac{1}{\left(1 + \frac{x^2}{2Rh} \right)^2} - \frac{p_2}{p_1 - p_2} \quad (12)$$

На рис. 2. приведена кривая, графически соответствующая зависимости (12).

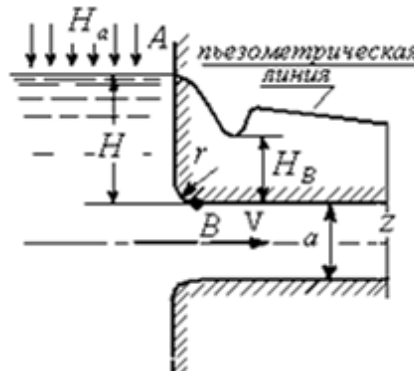


Рис. 2. Схема оголовка глубинного водосброса Каркидонского водохранилища

На этом же графике нанесены экспериментальные точки при исследовании щелевых протечек в уплотнениях затворов Каркидонского водохранилища. [1,2] Высота щели h изменялась от 4 до 6 мм, напоры на уплотнение составляли $\frac{p_1 - p_2}{\rho g} = (15 - 93)$ м. вод ст. В целом экспериментальные точки удовлетворительно согласуются с теоретической кривой. Минимальное давление имеет место на поверхности оголовка в точке B на линии сопряжения его цилиндрической части с потолком трубы Каркидонского водохранилища. Горизонтальная труба имеет постоянное живое сечение. Выходное сечение трубы не затоплено. Коэффициент расхода системы $\mu = 0,76$. Высота трубы $a = 4$ м. Определить напор H' , при котором возникает кавитация при безотрывном обтекании кругового оголовка радиусом $r = 4$ м глубинного водосброса (рис. 1. и 2).

Рис. 1. Коэффициент понижения давления в окрестности уплотнения затвора: 1 — теоретическое решение по (12); 2 и 3- экспериментальные значения C на поверхности оголовка и в плоскости дна соответственно; 4- точка отрыва потока от поверхности оголовка. [3-5]

Методика определения коэффициента максимального понижения давления $C_{\text{макс}}$ для круговых оголовков приведена в рис. 2. Каркидонского водохранилища. Значение $C_{\text{макс}}$ зависит в основном от параметра $\frac{r}{a}$, тогда в данном случае принимаем согласно рис.2. при $\frac{r}{a} = 1, C_{\text{макс}} = 1,87$. В этом случае условие возникновения кавитации записывается в виде

$$H_{\text{абс}} \leq H_{\text{кр}} \approx 0 \quad (13)$$

где $H_{\text{абс}}$ - абсолютное минимальное давление в потоке в окрестности обтекаемого элемента, равное сумме пьезометрического $H_{\text{п}}$, и атмосферного H_a давлений, м; $H_{\text{кр}}$ - критическое давление разрыва сплошности воды, м, обычно принимаемое равным давлению насыщенных паров H_g . Ввиду малости H_g (при 20 °C $H_g = 0,024\text{м}$) и принимая во внимание точность расчетов, предполагаем, что.[5]

$$H_{\text{кр}} \approx H_g \approx 0 \quad (14)$$

(14) запишем в виде

$$H' + H_a + C_{\text{макс}} \frac{\mathcal{G}^2}{2g} \leq 0$$

Здесь

$$\mathcal{G} = \mu \sqrt{2g \left(H' + \frac{a}{2} \right)}$$

Следовательно,

$$H' + H_a + C_{\text{макс}} \mu^2 \left(H' + \frac{a}{2} \right) \leq 0$$

Если принять, что $\frac{a}{2} \ll H'$, что в практических задачах, при напорах $H' \succ 20\text{м}$, имеет место, то

$$H' \left(1 - C_{\text{макс}} \mu^2 \right) + H_a \leq 0 \quad \text{или} \quad H' \leq \frac{H_a}{1 - C_{\text{макс}} \mu^2}$$

Последнее равенство имеет смысл

$$H' \succ 0,$$

если $\left(1 - C_{\text{макс}} \mu^2 \right) \leq 0$, или

$$\left(C_{\text{макс}} \mu^2 \right) \succ 1$$

Это выражение разграничивает области сочетаний $C_{\text{макс}}$ и μ , при которых на оголовке кавитация либо возникает, либо нет при любых напорах (рис.3).

Вывод:

Для рассматриваемой задачи Каркидонского водохранилища имеем условия возникновения кавитации:

$$C_{\text{макс}} \mu^2 = 1,87(0,72)^2 = 1,08 \succ 1,$$

следовательно, кавитация на оголовке может иметь место. Определяем напор, необходимый для возникновения кавитации:

$$H' + H_a - C_{\text{макс}} \mu^2 \left(H' + \frac{a}{2} \right) = H' + 10,3 - 1,87 \cdot 0,76^2 (H' + 2) \leq 0$$

Список литературы

1. Боженов Ю.А. и др. Самоходные необитаемые подводные аппараты. Л., 1986.
2. Войткунский Я.И., Фадеев Н.Н., Федяевский К. К. Гидромеханика. Л., 1982.
3. Нишоннов Ф.Х., Худайкулов С.И., Моделирование гидравлического удара в строительных комплексах // "Научно-технический журнал ФарПИ". Фергана, 2018. № 2. С. 68. (05.00.00; № 20).
4. Nishonov F.X. Mathematical model of liquids mixture hydraulic blow action in pipe line // Asian Journal of Research. Japan, Osaka. № 10. (10), 2017. Pp. 26-33.
5. Хамидов А.А., Худайкулов С.И., Махмудов И.Э. Гидромеханика. Ташкент «ФАН», 2008. 143 с.

6. *Абдукаримов Б.А., Тохиров И.Х.* Research of convective heat transfer in solar air heaters. Наука, техника и образование, 2019. № 9 (62).